

# Rapport de fin d'action de formation **Raytracing**

S9 MOS 2.2 2019-2020  
**Informatique Graphique**

Enseignant : Nicolas Bonneel

**Prégniard Lancelot**  
21/03/2020

## Sommaire.

I.	<b>Introduction</b>	<b>3</b>
II.	<b>Initialisation</b>	<b>3</b>
	a. Principes de bases	3
	b. Éléments de la scène	4
	c. Choix de programmation	4
III.	<b>Premiers développements</b>	<b>5</b>
	a. Calcul d'intersection entre les rayons et les objets de la scène	5
	b. Calcul de l'éclairage	6
	c. Ajout des ombres portées	7
	d. Correction gamma	9
	e. Gestion des surfaces spéculaires	10
	f. Gestion des surfaces transparentes	11
IV.	<b>Seconds développements</b>	<b>12</b>
	a. Équation du rendu	14
	b. Gestion de l'éclairage secondaire	16
	c. Correction de l'aliasing	17
	d. Gestion de l'éclairage étendu et des ombres douces	18
V.	<b>Pour aller plus loin</b>	<b>19</b>

## Table des figures.

Figure 1 - pinhole camera, source: wikipédia	3
Figure 2 - schéma de base du Raytracing, source: ray-tracing-concept.blogspot.com	4
Figure 3 - intersection simple	5
Figure 4 - ajout de l'éclairage direct	6
Figure 5 - ajout de sphères de grand rayon	7
Figure 6 - ajout des ombres portées	8
Figure 7 - ombres portées, corrigé	8
Figure 8 - courbe gamma. source pics.idemmdito.org	9
Figure 9 - correction gamma corrigée	9
Figure 10 - ajout de la surface miroir	10
Figure 11 - Test de récursion infinie	11
Figure 12 - ajout d'une surface transparente	12
Figure 13 - Rappel de l'éclairage direct	14
Figure 14 - Ajout de l'éclairage indirect, 2 rayons	15
Figure 15 - Ajout de l'éclairage indirect, 4 rayons	15
Figure 16 - Ajout de l'éclairage indirect, 10 rayons	16
Figure 17 - aliasing, ou crénelage	16
Figure 18 - avec anti-aliasing	17
Figure 19 - éclairage étendu	18
Figure 20 - Application de la profondeur de champ	19

## I. Introduction

Le but de ce court rapport est d'exposer les différentes méthodes développées au cours de cette action de formation ainsi que les résultats obtenus. Nous n'aborderons que le Raytracing, ou lancer de rayons, sur des sphères.

Le Ray-tracing est la version la plus fidèle du rendu informatique. Il s'agit d'une méthode lente et réaliste qui permet d'atteindre des images d'une qualité très proche du photoréalisme, voire même d'atteindre l'exactitude physique. Les applications du Ray-tracing sont multiples, notamment dans le cinéma pour les images de synthèse ou en architecture pour la simulation de l'éclairage.

## II. Initialisation

### a. Principes de base

Nous appliquons ici la méthode du Backward Raytracing, fondé sur le principe de Helmholtz qui stipule que l'on peut suivre les rayons de la lumière en sens inverse et obtenir le même résultat. Nous enverrons ainsi les rayons depuis la caméra plutôt que depuis les sources de lumière, réduisant ainsi fortement le temps de calcul car s'affranchissant de tous rayons n'atteignant pas la caméra.

La modélisation de base de la caméra est celle de la caméra sténopé (pinhole) dont le principe remonte à la fin du 19ème siècle. Il s'agit d'un modèle simpliste car ne prend pas en compte les effets de profondeur de champ et autres effets liés à une ouverture circulaire comme sur un système optique réel (oeil, objectif d'APN).

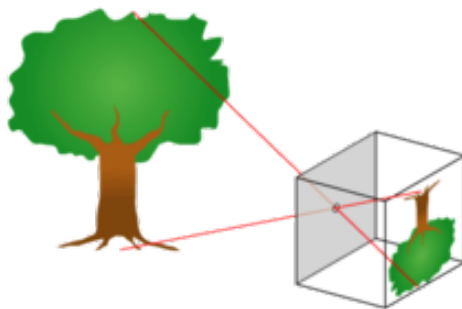


Figure 1 - pinhole camera, source: wikipédia

Ainsi, des rayons sont envoyés depuis la caméra à travers chaque pixel d'un écran positionné à une certaine distance du trou. Le principe de base peut se résumer à l'aide du schéma suivant :

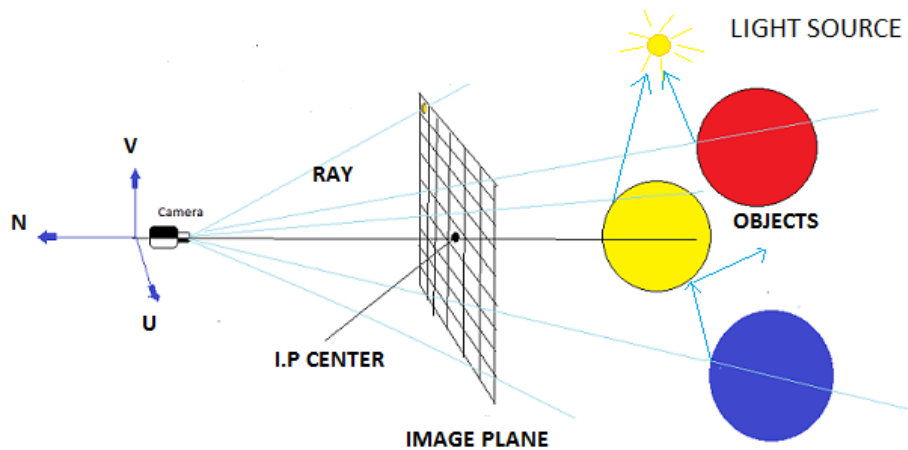


Figure 2 - schéma de base du Raytracing, source: [ray-tracing-concept.blogspot.com](http://ray-tracing-concept.blogspot.com)

#### b. Éléments de la scène

Les rayons sont représentés par des demi-droites de centre 0 et de direction u.

La scène est composée :

- De sphères pleines (à surface diffuse, puis miroir ou transparentes).
- De plans, représentés par des sphères de très grand rayon.
- De sources de lumière (ponctuelle, puis étendues).

#### c. Choix de programmation

Le Raytracer est programmé objet en C++. Les différentes classes que nous utiliserons sont :

- Les vecteurs : classe **Vector(x, y, z)**
- Les rayons : classe **Ray(origine, direction)**
- Les sphères : classe **Sphere(centre, rayon, albedo, miroir, transparent)** avec albedo le pouvoir réfléchissant de la sphère, ici utilisé comme le terme de couleur de la sphère, miroir et transparent les booléens indiquant la nature de la sphère.
- La scène : classe **Scene(spheres, position\_lumiere, intensité\_lumière, sphère\_lumière)** avec sphère\_lumière si éclairage étendu, et position\_lumière si éclairage ponctuel.

L'IDE choisi est Microsoft VS Code, pour ses plug-ins facilitant le compilage, l'exécution et la syntaxe du code C++.

### III. Premiers développements

#### a. Calcul d'intersection entre les rayons et les objets de la scène

La première étape consiste à calculer les intersections entre les rayons et les sphères de la scène. On montre par un simple calcul géométrique que cela revient à résoudre l'équation du second degré :

$$t^2 + 2 * t * \langle u, C - O \rangle + \|C - O\|^2 - R^2 = 0$$

Avec :

*t : distance du point d'intersection*

*u : direction unitaire du rayon*

*C : centre de la sphère*

*O : origine du rayon*

*R : rayon de la sphère*

Le calcul de cette intersection est gérée par la routine intersect qui renvoie un booléen si intersection, et modifie la valeur du paramètre t, du point d'intersection P et de la normale N au point d'intersection.

Un premier test, ou l'on considère une sphère centrale de rayon R = 20 et qui renvoie un pixel blanc si intersection, et un pixel noir sinon, renvoie l'image suivante :

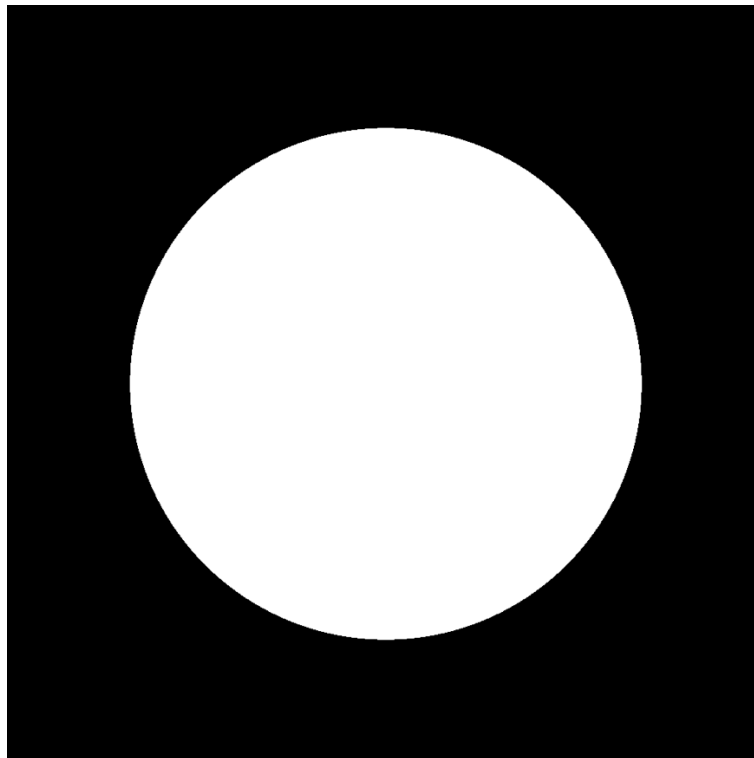


Figure 3 - intersection simple

b. Calcul de l'éclairage

Il convient maintenant d'ajouter une source de lumière ponctuelle, et de calculer l'éclairage de la sphère. Pour chaque point intersecté P, le calcul de l'éclairage se fait par la formule suivante, sous l'hypothèse de surfaces isotropes réfléchissantes :

$$i = \frac{\rho}{\pi} * I * \frac{\langle N, L \rangle}{d^2}$$

Avec :

$\rho$  : albedo (réflectance) de la sphère

$I$  : intensité de la source ponctuelle

$N$  : vecteur normal au point d'intersection

$L$  : vecteur partant de P et orienté vers la lumière

$d$  : distance PL

On obtient ainsi, pour la même sphère, avec une intensité  $I = 10\,000\,000$  :

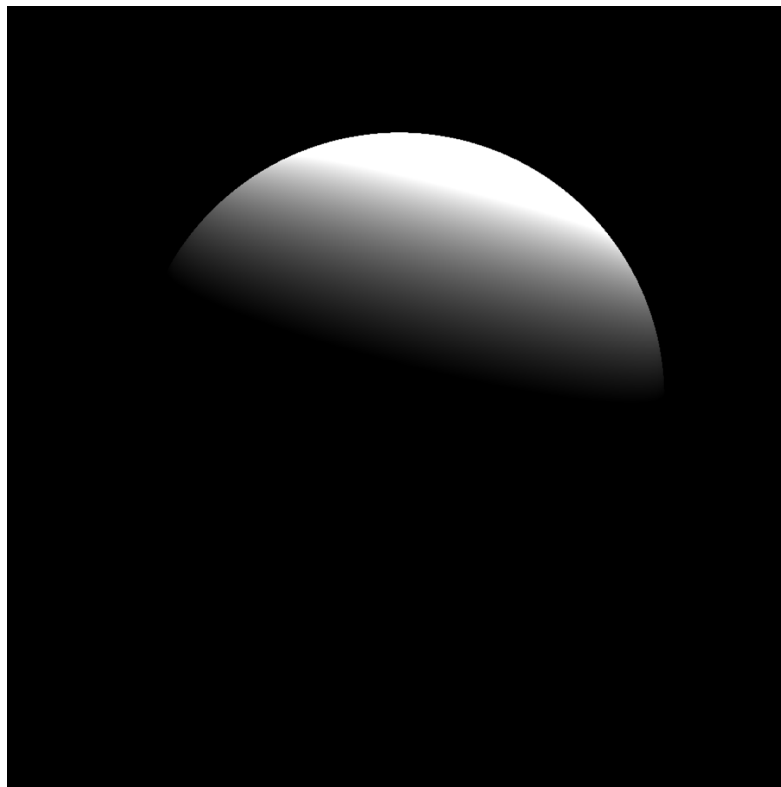
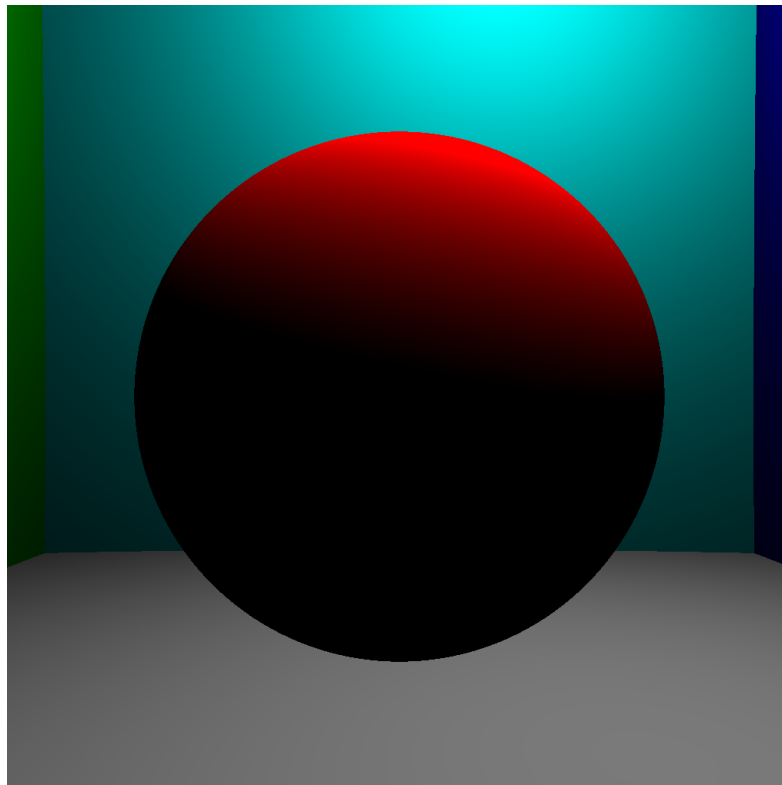


Figure 4 - ajout de l'éclairage direct

Puis, en ajoutant des murs, un sol et un plafond, et des couleurs arbitraires :



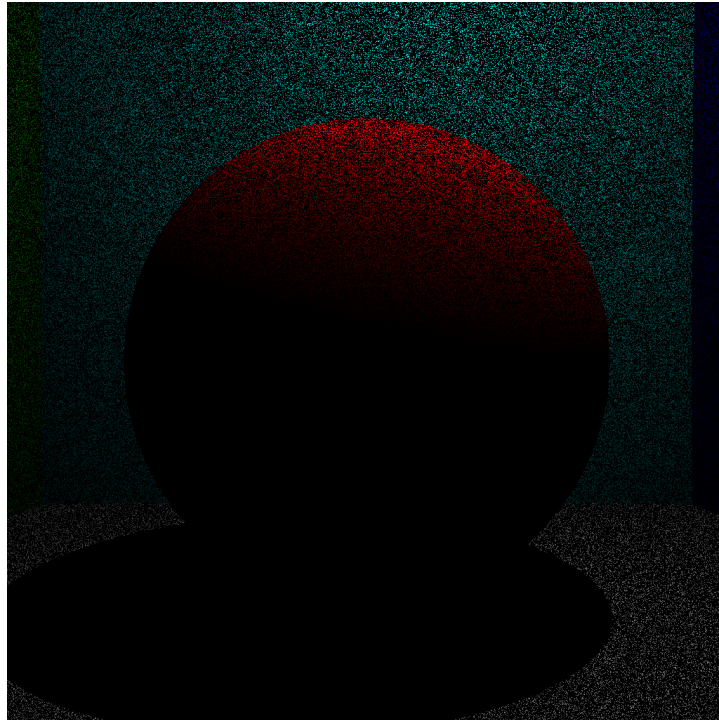
*Figure 5 - ajout de sphères de grand rayon*

On remarque que l'image n'est pas réaliste car elle ne prend pas en compte l'éclairage indirect (réflexion de la lumière sur le sol et les murs), ni les ombres.

#### c. Ajout des ombres portées

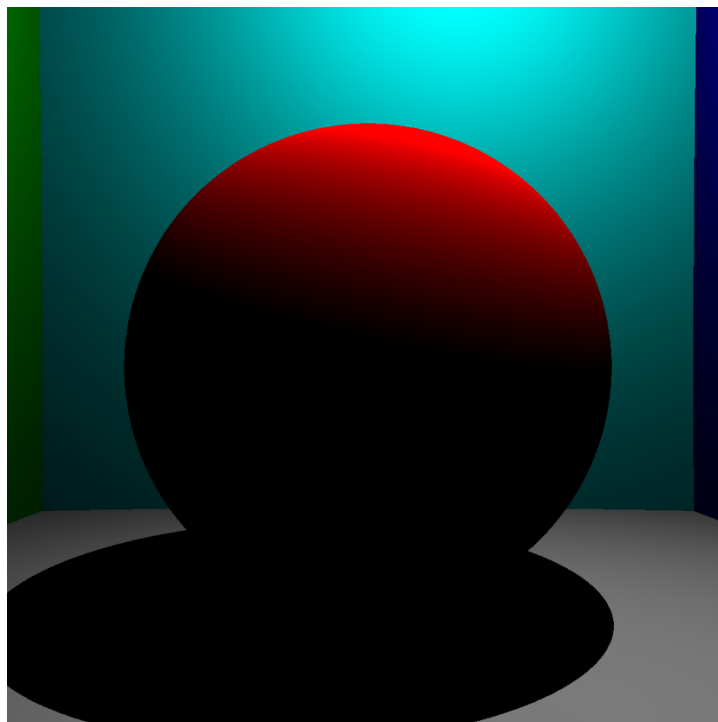
Pour prendre en compte les ombres portées, on utilise le principe du Path-Tracing, qui consiste à lancer un nouveau rayon depuis le point d'intersection précédent. Ce nouveau rayon, dirigé vers la lumière, donne l'information de position du point d'intersection par rapport à la lumière, et à un éventuel objet rencontré sur le chemin de la lumière.

En modifiant le code du Raytracer de telle manière à réaliser ce test, on obtient l'image suivante :



*Figure 6 - ajout des ombres portées*

On remarque ici que les ombres portées sont bien affichées, mais que l'image est extrêmement bruitée. Ceci est dû à un problème de précision numérique lors du calcul d'intersection. En effet, il arrive que le rayon envoyé à partir du premier point d'intersection se considère lui même comme le point suivant d'intersection, masquant ainsi le pixel alors qu'il ne devrait pas l'être. Pour corriger ceci, on "décolle" un peu le point de départ du second rayon, par un facteur 0.01 sur la normale. En corrigeant ce bug, on obtient :



*Figure 7 - ombres portées, corrigé*



On remarque ici que l'image n'est toujours pas très réaliste, car l'ombre est trop nette. En réalité, l'ombre est plus diffuse.

#### d. Correction Gamma

Nous apportons ici une petite correction appelée correction Gamma, qui consiste à mettre les intensités RGB à la puissance  $\frac{1}{2,2}$ , pour rendre compte de la capacité de l'oeil humain à être plus sensible aux intensités faibles. La valeur 2,2 est un vestige hérité des écrans cathodiques.

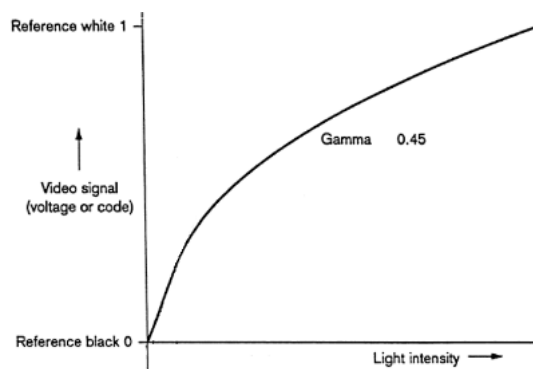


Figure 8 - courbe gamma. source [pics.idemmdito.org](http://pics.idemmdito.org)

Cela donne :

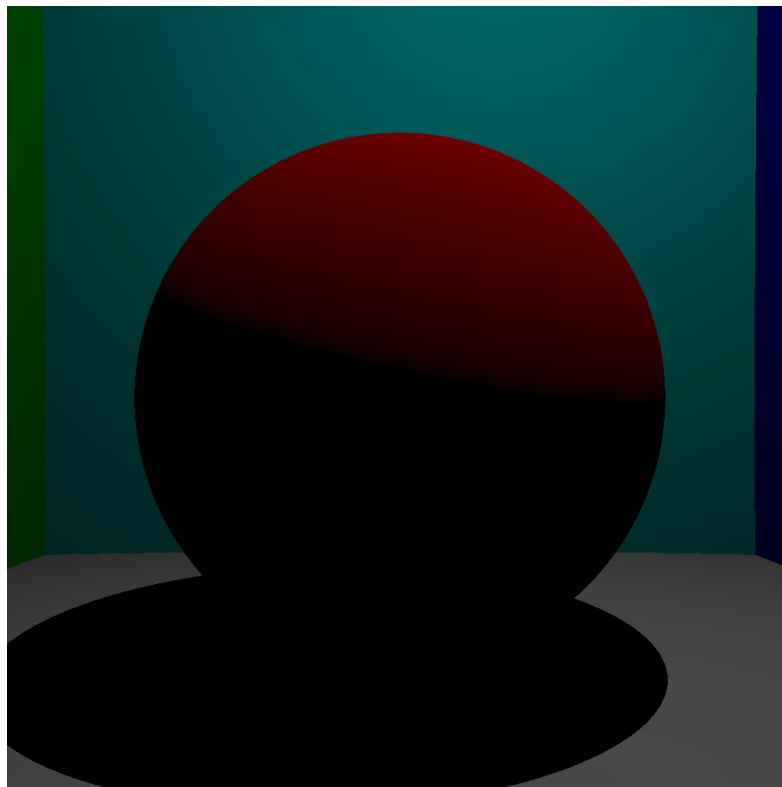


Figure 9 - correction gamma corrigée

Il n'est pas simple de remarquer un quelconque changement, si ce n'est que l'intensité nécessaire est dorénavant plus élevée.

e. Gestion des surfaces spéculaires

Nous allons adapter maintenant le code pour gérer les surfaces miroirs, donc totalement réfléchissantes. Le reste des surfaces est toujours considéré diffus.

Pour ces surfaces, le path-tracing est adapté pour gérer les lois de la réflexion. On a, pour le rayon réfléchi au point P, sur une surface de normale N :

$$R = -2 * \langle I, N \rangle N$$

Avec :

*I* : rayon incident

*R* : rayon réfléchi

*N* : normale à la surface

Il s'agit ici d'écrire une boucle de récursion, qui envoie un rayon réfléchi dès lors que le rayon incident (donc le rayon réfléchi de la boucle précédente) tombe sur une sphère miroir. On considérera un nombre maximum de rebond pour écarter le risque de récursion infinie (par exemple, si deux miroirs sont en face).

On obtient, avec cette nouvelle partie du code :

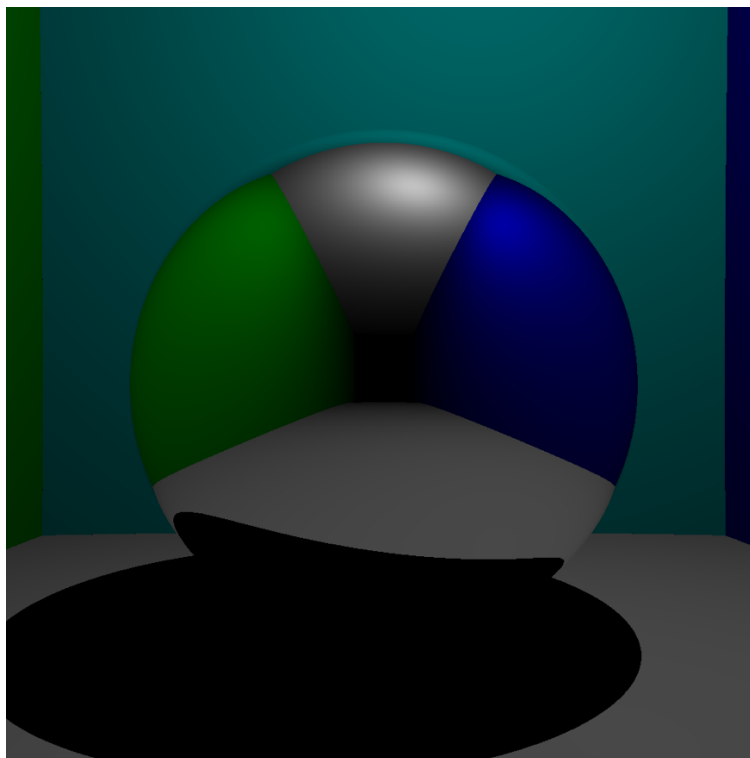


Figure 10 - ajout de la surface miroir

Il est intéressant de noter la présence du plafond blanc sur le haut de la sphère, qui n'est pas visible sans surface miroir. On peut également attester du bon contionnement de la boucle de récursion par l'ajout de deux petites sphères l'une en face de l'autre :

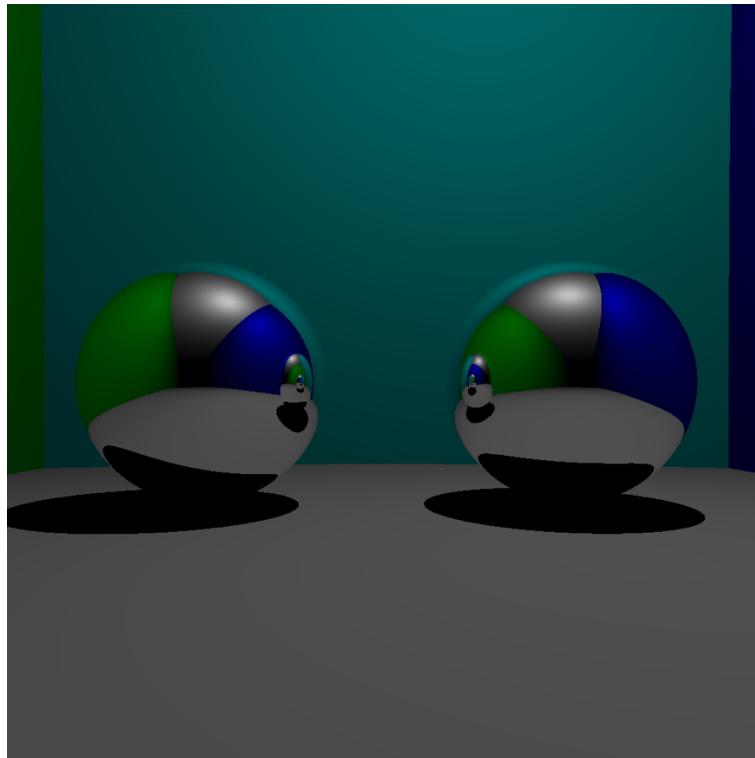


Figure 11 - Test de récursion infinie

#### f. Gestion des surfaces transparentes

Les surfaces transparentes se traitent de la même façon, mais en respectant les lois de la réfraction (Snell-Descartes). Il faut maintenant considérer de nouvelles grandeurs pour notre problème : les indices de réfraction du milieu environnant et des sphères transparentes. Le rayon renvoyé depuis le point P est désormais le rayon réfracté.

Le calcul géométrique donne :

$$T = T_t + T_n$$

$$T_t = \frac{n_1}{n_2} * (I - \langle I, N \rangle * N)$$

$$T_t = -N * \sqrt{1 - \left(\frac{n_1}{n_2}\right)^2 * (1 - \langle I, N \rangle^2)}$$

Avec :

$T$  : rayon transmis (réfracté)

$n_1, n_2$  : indices de réfraction

$T_t, T_n$  : composante tangentielle et normale

Notons que le comportement dans le code doit prendre en compte l'origine du rayon incident, car le comportement  $n_1$  vers  $n_2$  n'est pas le même que de  $n_2$  vers  $n_1$ . Avec les sphères précédentes, une intensité doublée, et des milieux (air,  $n=1$ ) et (eau,  $n=1,3$ ), on obtient :

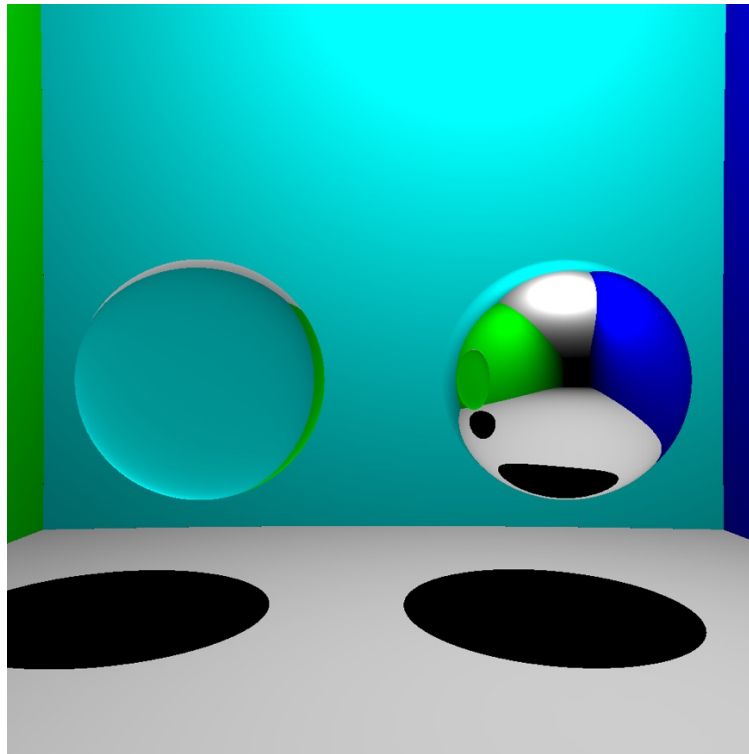


Figure 12 - ajout d'une surface transparente

## IV. Seconds développements

### a. Équation du rendu

Jusqu'à maintenant, l'unique éclairage provient de la source de lumière ponctuelle. Or, dans la réalité, toute surface diffuse agit comme une source de lumière secondaire, c'est pourquoi un objet non éclairé directement est tout de même visible.

Pour prendre en compte ce phénomène, nous utilisons l'équation du rendu :

$$L_o(x, w_o, \lambda) = L_e(x, w_o, \lambda) + \int_{S^2} (L_i(x, w_i, \lambda) * f(x, w_i, w_o, \lambda) * \langle N, w_i \rangle) * dw_i$$

Avec :

$L_o$  : lumière réfléchie au point  $x$ , dans la direction  $w_o$ , à la longueur d'onde  $\lambda$

$L_e$  : lumière émise au point  $x$ , dans la direction  $w_o$ , à la longueur d'onde  $\lambda$

$L_i$  : lumière incidente au point  $x$ , dans la direction  $w_i$ , à la longueur d'onde  $\lambda$

$f$  : fonction de réflectance (BRDF)

$\langle N, w_i \rangle$  : terme attestant de l'incidence plus ou moins rasante du rayon

$S$  : surface au point  $x$

Cette équation régit l'éclairage au point  $x$  en fonction des éclairages incidents. C'est une équation intégrale récursive, car pour tout point  $x$ , on a :

$$L_i(x) = L_o(x')$$

La BRDF (bidirectional reflection distribution function) atteste de la probabilité de réflexion d'un photon. En d'autres termes, elle indique comment la lumière est réfléchi sur les objets. Elle peut être mesurée par un appareil physique. Il en existe de nombreuses, selon le matériau. Nous avons par exemple utilisé précédemment, pour les surfaces spéculaires, la BSDF :

$$BSDF = \delta_{w_0}$$

Pour résoudre cette équation, une méthode adaptée est la méthode de Monte-Carlo avec échantillonnage par importance. On intègre ici sur les directions  $w_i$  au point d'intersection  $P$ , lors du lancé du rayon pour path-tracing. Or on ne peut intégrer sur toutes ces directions faute de puissance de calcul, d'autant plus que celle-ci augmente avec le nombre de rebonds (on serait par exemple en 6D au 3ème rayon). La méthode de Monte-Carlo stipule donc un échantillonnage aléatoire des  $w_i$  pour approximer l'intégrale. Cette méthode fonctionne mais converge en  $\sqrt{n}$  (assez lente).

On aura :

$$L_o(x, w_o, \lambda) \approx \sum_{j=1}^n f(x, w_i^j, w_o, \lambda) * L_i^j(x, w_i^j, \lambda) * \langle N, w_i \rangle > \frac{1}{p(w_i^j)}$$

Avec :

$p$  : la loi de probabilité des échantillons  $w^j$

Plus la probabilité  $p$  est proche de  $f(x, w_i^j, w_o, \lambda) * \langle N, w_i \rangle >$ , plus l'approximation est précise. Pour la suite, on générera donc des rayons avec une distribution proche de la BRDF. Ici, comme les surfaces sont diffuses, la BRDF est constante (probabilité uniforme sur une hémisphère centrée au point  $P$ ), donc il suffit d'échantillonner le facteur :

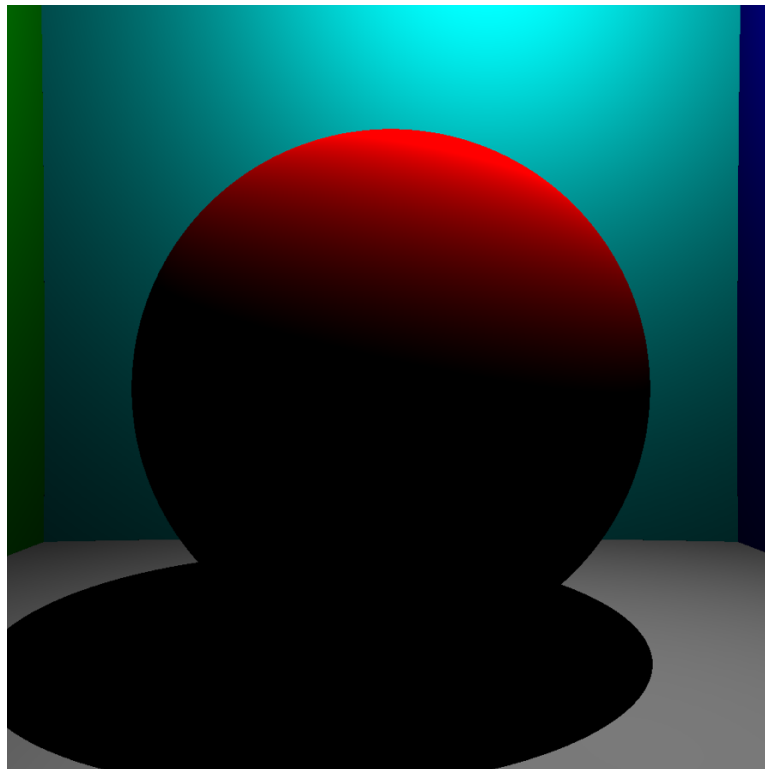
$$\langle N, w_i \rangle = \cos(\theta)$$

Pour d'autres types de matériau, il faut échantillonner aussi la BRDF, ce qui peut se révéler être un challenge. De nombreux échantillonnages sont cependant connus à ce jour.

b. Gestion de l'éclairage secondaire

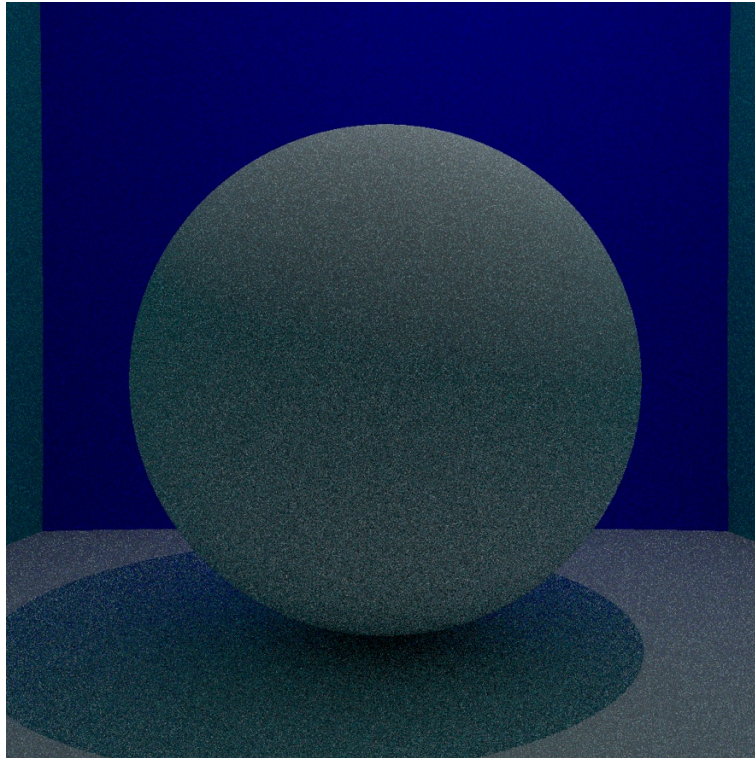
Pour notre Raytracer, il s'agit de réaliser le path-tracing avec des directions cette fois aléatoires et non plus déterministes comme pour les ombres portées ou les surfaces spéculaires. Il faudrait idéalement tirer un rayon par pixel, puis pour chaque intersection, générer  $n$  directions aléatoires. Seulement, ceci demanderait  $W * H * n^r$  rayons par pixel, ce qui est trop coûteux (avec  $W * H$  le nombre de pixels, et  $r$  le nombre de rebonds). La stratégie adoptée est de tirer  $n$  rayons par pixels, ce qui donne  $W * H * n * r$  rayons. L'expérience montre que le résultat est similaire.

Pour rappel, on avait, sans éclairage indirect :



*Figure 13 - Rappel de l'éclairage direct*

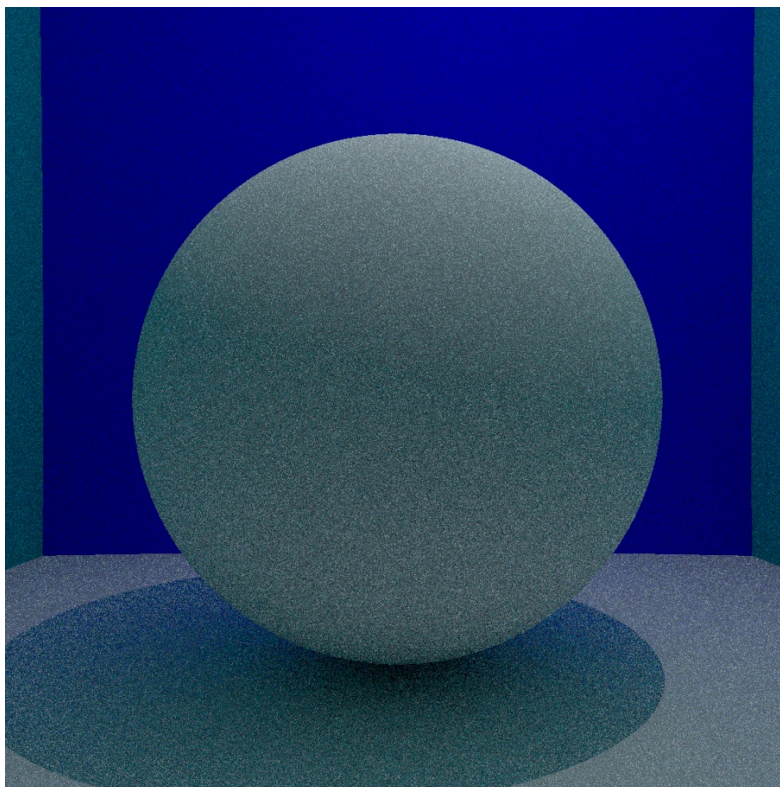
Et on obtient ici, avec 2 rayons par pixels :



*Figure 14 - Ajout de l'éclairage indirect, 2 rayons*

On remarque un éclairage bien plus réaliste sur le bas de la sphère. On a cependant besoin de plus de rayons.

Avec 4 rayons par pixels :



*Figure 15 - Ajout de l'éclairage indirect, 4 rayons*



Puis, 10 :

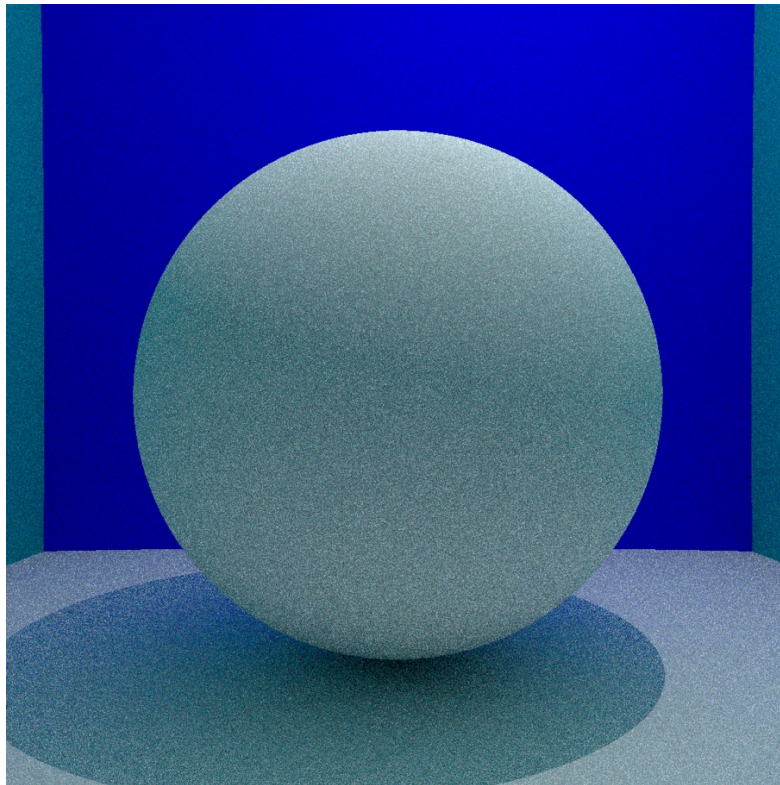


Figure 16 - Ajout de l'éclairage indirect, 10 rayons

Le résultat est bien meilleur ainsi, mais toujours relativement bruité. Il faudrait lancer une simulation avec bien plus de rayons pour obtenir un résultat plus précis. On s'approche d'un résultat correct, mais les ombres sont toujours trop nettes.

c. Correction de l'aliasing

En zoomant sur l'image précédente, on remarque un artefact que l'on va tenter de corriger :

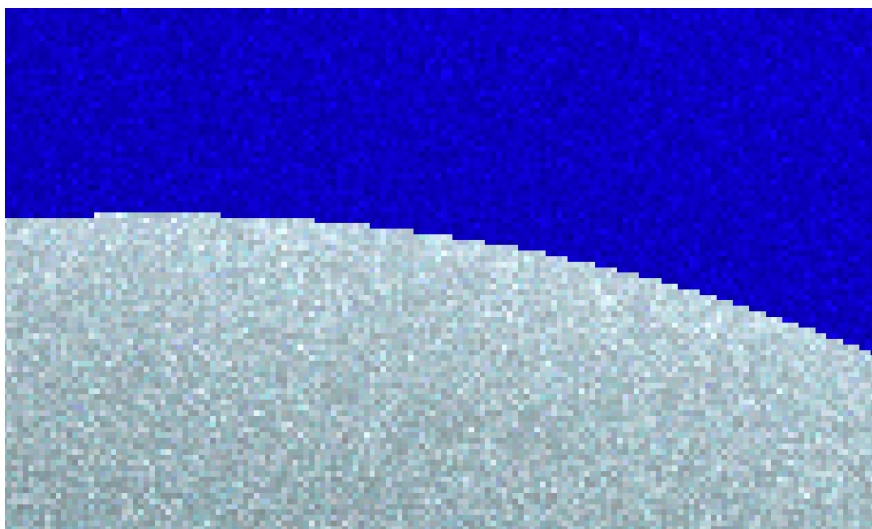


Figure 17 - aliasing, ou crénelage



Cet effet de créneau est dû au fait que tous les rayons sont tirés au centre du pixel, ce qui confère un état binaire aux pixels. Pour contrer celà, nous ajoutons une méthode d'anti-aliasing qui consiste à envoyer des rayons aléatoirement dans chaque pixel, selon une gaussienne centrée au milieu du pixel. La méthode utilisée pour générer les échantillons gaussien est la méthode Box-Muller.

Grâce à cette méthode, on obtient un résultat plus doux :



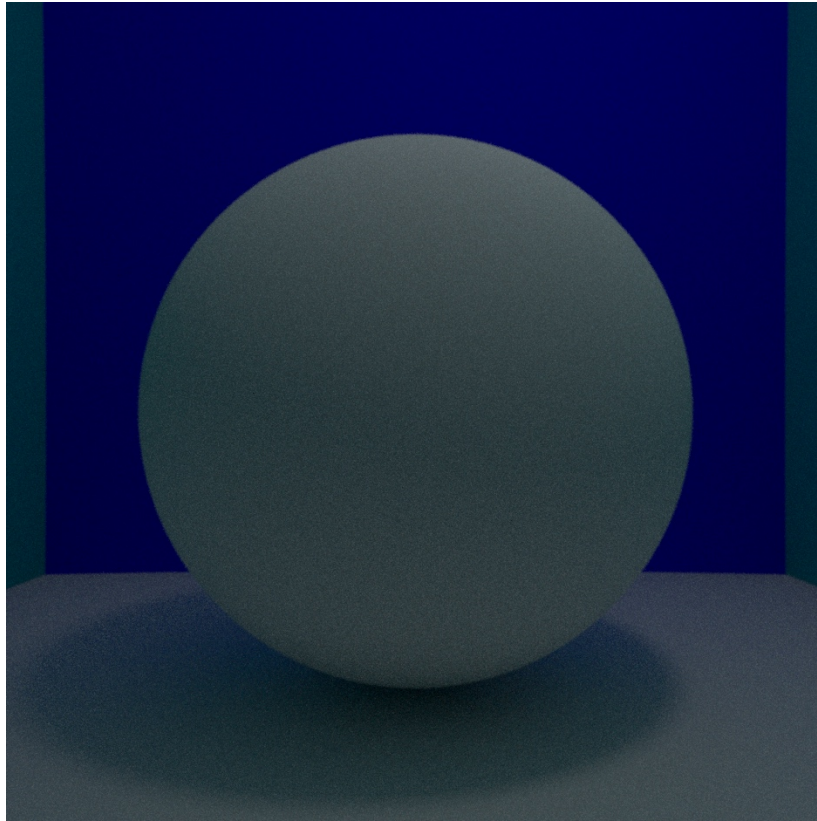
*Figure 18 - avec anti-aliasing*

#### d. Gestion de l'éclairage étendue et des ombres douces

Considérons maintenant des lumières étendues plutôt que des lumières ponctuelles. Ces éclairages correspondent mieux à la réalité, et produiront des ombres plus douces, donc plus réalistes.

On remplace donc les lumière ponctuelle par des sphères de lumière. On affichera le pixel lorsque le rayon réfléchi intersecte la sphère de lumière. Il s'agit ici de gérer différemment l'éclairage direct de l'éclairage indirect. L'éclairage indirect est géré de la même façon que précédemment, mais on ne considère pas l'intersection avec la sphère de lumière. L'éclairage direct quant à lui est réalisé en échantillonnant les directions avec importance vers la sphère de lumière, pour augmenter les chances d'intersection. Plus la sphère de lumière est petite, moins la probabilité d'intersection est élevée, d'où l'échantillonnage par importance.

On obtient, avec une sphère de lumière :



*Figure 19 - éclairage étendu*

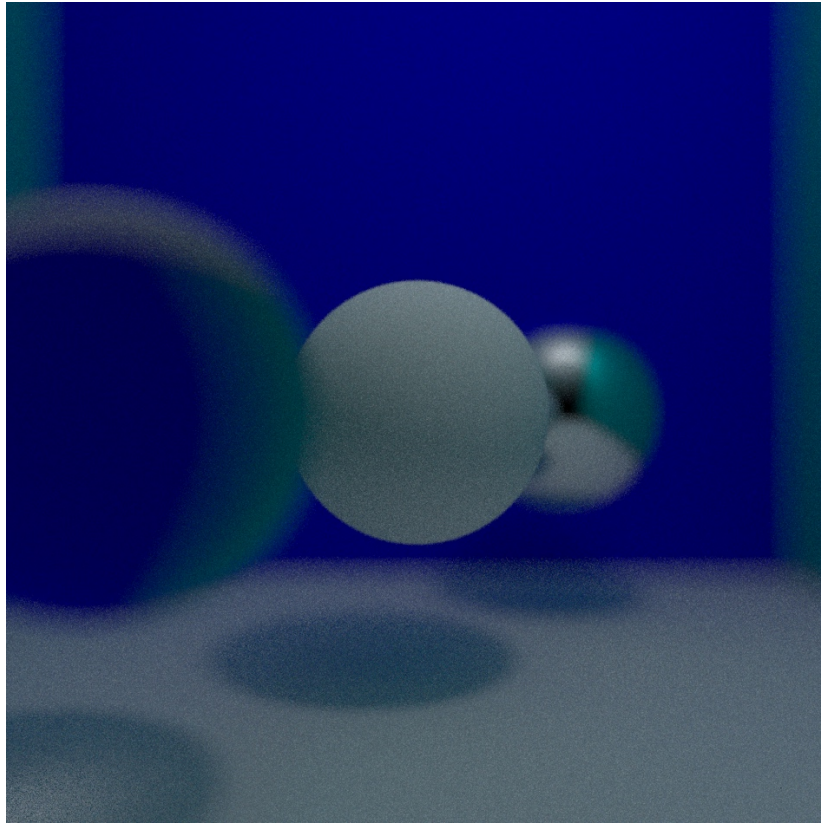
On remarque bien une ombre plus douce.

e. La profondeur de champ

Pour terminer, nous allons utiliser un autre modèle que le modèle sténopé décrit en II. Ce modèle ne permet pas de prendre en compte l'effet de profondeur de champ. Pour palier ce problème, on considère une ouverture carrée, simplifiant la réalité (ouverture circulaire avec diaphragme pour l'oeil ou les caméras), à travers laquelle on tirera les rayons. Ainsi, ces différents rayons auront une origine différente à l'intérieur du carré, et une destination (direction) se positionnant au niveau de la distance focale.

De cette façon, tout objet sur le plan focal sera net, et les objets se situant en amont et en aval de ce plan, flou.

En implémentant cette solution pour 3 sphères décalées selon l'axe de profondeur, on obtient :



*Figure 20 - Application de la profondeur de champ*

## **V. Pour aller plus loin**

Les développements possibles qui n'ont pas été abordés dans ce rapport sont :

- Les maillages triangulaires, pour diversifier la scène à d'autres objets
- Le déplacement de la caméra, pour des scènes dynamiques
- Les milieux participatifs
- Utilisation d'autres gammes de BRDF
- Utilisation de textures